

- логения олова и вольфрама Дальнего Востока.-Владивосток,1983-С.176-185
- 9.Панова Е.Г., Гавриленко В.В., Лучицкая М.И. Химическая эволюция метасоматитов в процессе формирования Правоурмийского оловорудного месторождения // Геохимия – 1993. - № 5. – с. 743 – 753.
- 10.Гасюк А.М., Абрамова Э.Д. Основные факторы, влияющие на интенсивность термо-люминесценции минералов //Исследования в области химич. и физич. методов анализа минерального сырья. -Алма-Ата, 1971. - С.69 - 71.
- 11.Коровкин М.В., Иванова О.А. Влияние прокаливания и облучения на люминесценцию природного топаза. / Спектроскопия, рентгенография и кристаллохимия минералов. Тез.докл. Международной конф. 30 сентября - 2 октября 1997 г. - Казань: Изд-во Казанского ун-та, 1997. - С. 154- 155.
- 12.Иванова О.А., Коровкин М.В. Закономерности изменения люминесцентных свойств топазов из грейзенов Правоурмийского оловорудного месторождения в связи с условиями образования / Материалы Региональной конф. геологов Сибири, Дальнего Востока и Северо-Востока России, Т.2. -Томск, 2000. - С. 105-107.
- 13.Кузнецов Г.В., Таращан А.Н. Люминесценция минералов гранитных пегматитов. – Киев: Наукова Думка, 1988. – 177 с.
14. Коровкин М.В. Термолюминесценция топазов / Применение люминесценции в геологии.- Екатеринбург:УрО АН СССР,1991.- С.58.
15. Коровкин М.В., Сальников В.Н. Эффект радиационной "памяти" в природных и искусственно выращенных кристаллах. / Геология, Т. 2. Ред. кол.: А.Н.Тихонов , В.А. Садовничий и др. (Программа "Университеты России") - М.: Изд-во Московского ун-та, 1995. - С. 200 - 204.
16. Коровкин М.В., Иванова О.А. Радиационные эффекты в кристаллах топаза / Труды 8-го Межнационального совещания "Радиационная физика твердого тела". - Севастополь, 1998. - С.148 - 151.

УДК 549.283:553.411

ТИПОМОРФНЫЕ ОСОБЕННОСТИ САМОРОДНОГО ЗОЛОТА МЕСТОРОЖДЕНИЙ УРИК-КИТОЙСКОЙ ЗОНЫ (В. САЯНЫ)

С.К. Кныш

Приведен аналитический материал, характеризующий морфологию, гранулометрический и химический состав самородного золота месторождений, расположенных в каледонских структурах, испытавших неоднократную тектономагматическую активизацию. Отмечаются закономерные вариации типоморфных свойств золота для рудных месторождений как во времени, так и в пространстве.

Введение

Золоторудные месторождения расположены в системе каледонид юго-восточной части Восточного Саяна и приурочены к северо-восточной периферической части Гарганской глыбы.

В геологическом строении района принимают участие: 1) архей-нижнепротерозойские породы комплекса основания Гарганской глыбы; 2) сланцево-карбонатный комплекс рифея-венда-чехол глыбы; 3) верхнепротерозойская офиолитовая ассоциация пород – тектонический покров; 4) барун-холбинский вулканоплутонический комплекс; 5) интрузии сумсунурского комплекса плагиогранитов нижне-среднепалеозойского возраста [1].

Главной металлогенической единицей территории является Гарганский район, в состав которого входят Ольгинская, Урик-Китайская, Хойто-Гарганская и Урда-Гарганская золоторудные зоны. Большая часть месторождений и рудо-проявлений сосредоточена в пределах Урик-Китайской золоторудной зоны, приуроченной к Холбинской зоне разлома северо-западного простирания.

На месторождениях выделяются три основных морфологических типа рудных тел:

1) слоисто-полосчатые залежи в углеродисто-кремнистых и кремнисто-карбонатных сланцах; 2) метасоматические залежи массивных сульфидных руд и сопровождающие их жилы и минерализованные зоны; 3) кварцевые и кварцево-сульфидные жилы. Причем, первые два морфологических типа наиболее широко проявлены на нижних горизонтах Зун-Холбинского месторождения. На остальных изученных золоторудных объектах преобладают кварцевые и кварц-сульфидные жилы.

С учетом всего имеющегося материала формационная принадлежность коренных месторождений определяется их принадлежностью к золото-кварц-сульфидной формации, по классификации М.Б. Бордоевского, И.С. Рожкова, или формации среднеглубинных золоторудных жильных месторождений, по Н.В. Петровской. В рамках единой рудной формации намечается выделение пяти продуктивных минеральных типов и соответствующие им минеральные ассоциации: 1) пирит-кварцевая; 2) пирит-халькопирит-сфалерит-галенитовая; 3) галенит - блекло-рудная; 4) галенит- теллуридная; 5) серебро-пирит-сфалерит-галенитовая.

Пирит-кварцевая минеральная ассоциация распространена весьма широко. Она слагает основную массу рудных тел месторождений и представлена пиритом, светло-серым, белым сливным кварцем с крупно - до мелкозернистой структурой.

Минералогическим анализом почти во всех пробах устанавливается магнетит, но его содержание очень низкое и не превышает единичных знаков. Золото отмечается в 35% проб. Его содержание колеблется в широких пределах. Из других минералов в жилах устанавливается мусковит, сфен, рутил, циркон, молибденит. В отдельных пробах отмечаются галенит, сфалерит, пирротин, халькопирит, но их присутствие обусловлено пространственным наложением более поздних продуктивных минеральных ассоциаций.

Пирит-халькопирит-сфалерит-галенитовая ассоциация характеризуется преимущественным развитием в рудных телах Зун-Холбинского, Барун-Холбинского, Водораздельного, Кварцевого и Сумсу-Нурского месторождений. В незначительном количестве присутствуют пирротин, арсенопирит, тетраэдрит, халькопирротин(?), теллуриды (гессит), барит. Содержание сульфидов в рудах резко меняется в зависимости от состава вмещающих пород. В рудных телах, расположенных в пределах известково-сланцевой толщи монгольской свиты, содержание сульфидов достигает 30-40%, а в некоторых участках образуются сплошные полисульфидные руды (жилы Сульфидная, Перевальная; жила №1 Водораздельного месторождения). По преобладанию тех или иных сульфидов выделяются руды разного состава: пирит-пирротин-халькопиритовые (фланги жил Сульфидной, Перевальной, некоторые участки жил Барун-Холбинского, Водораздельного месторождения); собственнополиметаллические; кварц-галенитовые (с незначительным содержанием кальцита) развиты на Зун-Холбинском (верхние горизонты Доржи-Банзаровской и «Северных» жил), Сумсу-Нурском, Кварцевом месторождениях; барит-полиметаллические встречаются преимущественно на площади Кварцевого месторождения (жила №3) и на флангах жилы 51 Барун-Холбинского месторождения. Характерной особенностью барит-полиметаллической минерализации является постоянное присутствие кляйофана.

Возрастные взаимоотношения с предыдущими минеральными ассоциациями отчетливые. Во всех случаях эта ассоциация накладывается на темно-серый безрудный кварц, пирит-кварцевые жилы и пересекается более поздними кварц-кальцитовыми прожилками.

Галенит-тетраэдритовая минеральная ассоциация распространена в рудных телах Динамитного, Зеленого и Ильчирского месторождений. Она характеризуется преимущественным развитием тетраэдрита при подчиненной роли сульфидов: пирита, сфалерита, халькопирита, галенита. В виде редкой вкрапленности устанавливаются пирротин, аргентит и теллуриды. В жилах перечисленных месторождений совместно с тетраэдритом присутствует золото и серебро .

Нижняя возрастная граница отчетливо устанавливается по пересечениям более ранних (темно-серого безрудного кварца, пирит-кварцевой) минеральных ассоциаций. Взаимных пересечений с жилами остальных ассоциаций не наблюдалось.

Как и в предыдущей ассоциации, выделению рудных минералов предшествует отложение карбоната.

Галенит - теллуридная минеральная ассоциация довольно широко проявилась в кварцевых жилах Пионерского, кл. Золотого, Гранитного, Самартинского месторождений. Она представлена алтaitом, волынскимитом, гесситом, петцитом, раклиджитом, теллуровисмути-

ном. Из сульфидов преобладает галенит. Реже отмечаются сфалерит, халькопирит.

Автором обнаружена теллуровая минерализация в рудных телах участков Золотого, Среднего, Ильчирского, Зун-Холбинского (жилы Доржи-Банзаровская, Северная-1). Повышенные концентрации теллура, указывающие на возможность присутствия собственных минералов этого элемента, отмечаются спектральным анализом в рудах на горизонтах штолен № 2, 3, 11 Зун-Холбинского месторождений; в жиле Новой (горизонт № 1), жиле -40, Юго-Восточной апофизе (горизонт шт. № 3) Барун-Холбинского месторождения; в рудах Сумсу-Нурского, Динамитного и Зеленого месторождений. При микроскопическом изучении полированных шлифов было установлено, что теллуриды тесно ассоциируют с кальцитом, золотом, галенитом, сфалеритом и халькопиритом. В жилах Пионерской группы месторождений, в отличие от остальных, теллуриды сопровождаются мелкой вкрапленностью выше перечисленных сульфидов. Причем, эти минералы отчетливо корродируют пирит и кварц более ранней пирит-кварцевой минеральной ассоциации.

Серебро-пирит-сфалерит-галенитовая минеральная ассоциация проявлена менее широко по сравнению с предыдущей. Она характерна для жил Зун-Оспинского и Штокверкового месторождений. Отдельные маломощные прожилки отмечаются на Золотом и Среднем участках. Главные минералы, слагающие жилы и прожилки этой ассоциации, представлены светло-серым кварцем, кальцитом, галенитом, сфалеритом, халькопиритом и пиротином. Широко развиты минералы серебра: аргентит, пиаргирит, кюстелит, самородное серебро. Золото и кюстелит чаще всего образуют неравномерную вкрапленность, прожилки и тесно ассоциируют с сульфидами. В рудных телах Зун-Оспинского, Сфалеритового месторождений золото-серебряная минерализация наложена на темно-серый кварц и пирит-кварцевые жилы, при этом происходит дробление и перекристаллизация кварца ранних ассоциаций. Содержание сульфидов варьирует. На отдельных участках (в контакте рудных тел с лиственитами) их количество достигает 30-40% (жила I Зун-Оспинского месторождения).

Для продуктивных минеральных ассоциаций отчетливо проявляется эндогенная горизонтальная зональность, которая выражена в изменении минерального состава жил с северо-запада на юго-восток. Наблюдаемая горизонтальная зональность, как видно из рис. 1, является отражением вертикальной зональности [2].

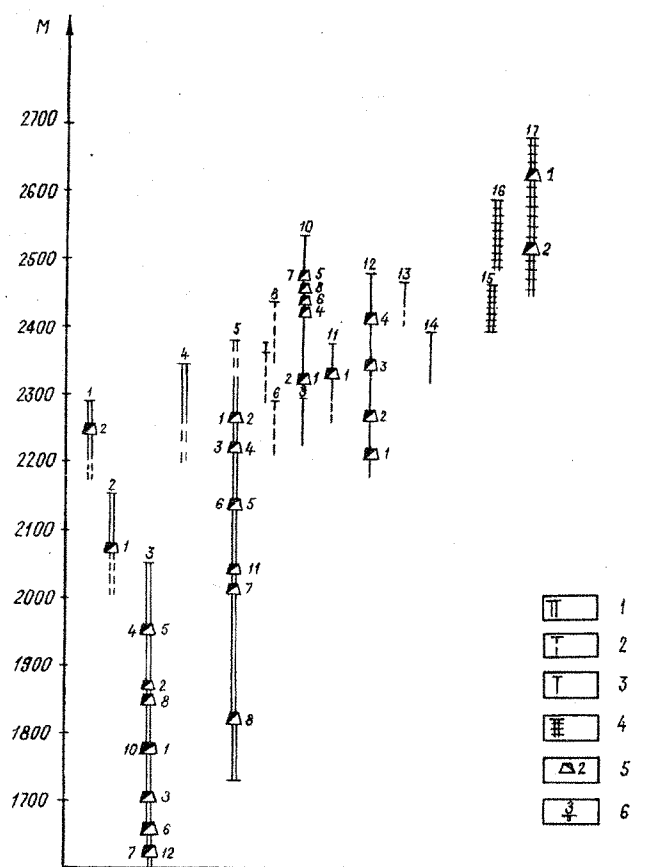


Рис. 1. Распределение минеральных ассоциаций в разрезе

1-пирит-халькопирит-сфалерит-галенитовая; 2-галенит-тетраэдритовая; 3-галенит-теллуридная; 4-серебро-пирит-сфалерит-галенитовая; 5-разведочные горизонты; 6-Месторождения: Кварцевое-1; Водораздельное-2; Барун-Холбинское-3; Сумсу-Нурское-4; Зун-Холбинское-5; Динамитное-6; Ильчирское-7; Зеленое-8; Ключ Золотой-9; Пионерское-10; Гранитное-11; Самартинское-12; Золотое, Среднее-13; Озерное-14; Сфалеритовое-15; Штокверковое-16; Зун-Оспинское-17

Распределение золота

В рудах месторождений отчетливо выделяются две разновидности золота, отличающиеся по своему составу и цвету: желтое золото, пробы которого меняются в широких пределах, и бледно-желтое низкопробное золото.

Эти две разновидности отмечаются совместно в рудах всех месторождений, но наибольшим распространением пользуется желтое золото.

Желтой разновидностью представлена основная масса золота всех месторождений. Характерной особенностью желтого золота является постоянная приуроченность к малосульфидной формации руд. Эта разновидность золота тесно ассоциирует с сульфидами (галенитом), блеклой рудой и теллуридами. Чаще золото отмечается в виде мелкой вкрапленности в кальците и кварце, или в виде тонких прожилков в пирите, арсенопирите. Так, по данным А.И.Верхозина, основная масса золота связана с сульфидами: пиритом – 83,5%, галенитом – 13,4%, сфалеритом – 2,5%.

Золото в рудных телах Пионерской группы месторождений тесно ассоциирует с кальцитом, галенитом и теллуридами: алтайтом, волынским, гесситом, петцитом, раклиджитом, теллурорисмутитом – с которыми оно образует тесные срастания. Сравнительно редко золото присутствует в галените в виде изометричных выделений или образует в нем мирамекитовые вrostки. Очень часто золото находится в сростках с пиритом и реже с другими сульфидами: сфалеритом, халькопиритом. На основании тесной парагенетической связи золота с галенитом и теллуридами можно считать, что оно сингенетично с ними.

Бледно-желтое золото чаще представлено микроскопической разностью. Оно пользуется значительным распространением только в сплошных рудах пирит-халькопирит-сфалерит-галенитовой ассоциации (жила Сульфидная Зун-Холбинского месторождения, жила II - Водораздельного месторождения); реже это золото отмечается в малосульфидных рудах Ильчирской и Зун-Оспинской групп месторождений. Характерной особенностью бледно-желтого золота является постоянная его связь с халькопиритом и галенитом, которые совместно с золотом выполняют тонкие многочисленные прожилки в раздробленном пирите, кварце. Реже выделения золота отмечаются в межзерновых пространствах или внутри зерен галенита и сфалерита. Постоянная приуроченность этой разновидности золота к халькопирит-галенитовым прожилкам в пирите определяет высокую золотоносность последнего.

Результаты опробования кварцевых жил месторождений иrudопроявлений показывают крайне неравномерное распределение золота. При этом, наряду с бедными участками, в которых содержание золота составляет 1-2 усл.ед., выделяются участки с содержанием металла до 1000 усл.ед. Результаты математической обработки распределения содержания золота показывают, что коэффициент вариации меняется в широких пределах. Наиболее высокие его значения характерны для участков, в которых проявилась галенит-теллуридная минерализация. Для них значения коэффициента вариации колеблются от 267% до 340%. Такое крайне неравномерное распределение золота объясняется неравномерным распределением продуктивной минерализации в кварцевых жилах. Участки, золотоносность которых связана с другими продуктивными минеральными ассоциациями, характеризуются более низкими значениями параметров распределения содержаний золота.

В целом устанавливается отчетливое увеличение значений среднего содержания, дисперсии и коэффициента вариации от рудных тел, расположенных на нижних гипсометрических уровнях, к верхним. Наиболее высокие значения параметров распределения содержаний золота отмечается на горизонтах 2000-1950 м Барун-Холбинского, 2187 м Зун-Холбинского и 2350-2400 м Пионерского месторождений (рис. 2).

Распределение проб по классам содержаний золота показывает, что подавляющее количество проб относится к первому классу (0-5 усл.ед.). Количество проб, относящихся к этому классу, варьирует от 47,5% Гранитное до 98,3% для Зеленогорудопроявления. Таким образом, промышленная минерализация месторождений обуславливается небольшим количеством проб с высоким содержанием металла (рис. 3).

Как было показано ниже, золотоносность кварцевых жил связана с проявлением пяти продуктивных минеральных ассоциаций, различающихся по своему минералогическому составу, однако золотоносность рудных тел, вследствие наложения этих ассоциаций, существенно не различается. Обращают на себя внимание более широкие пределы колебания па-

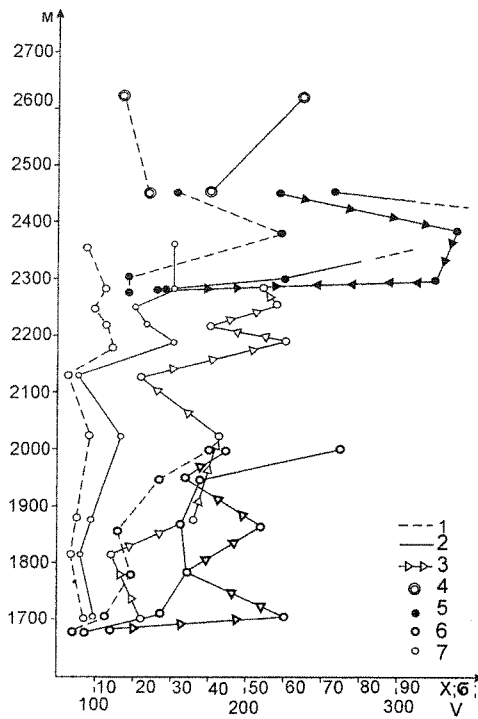


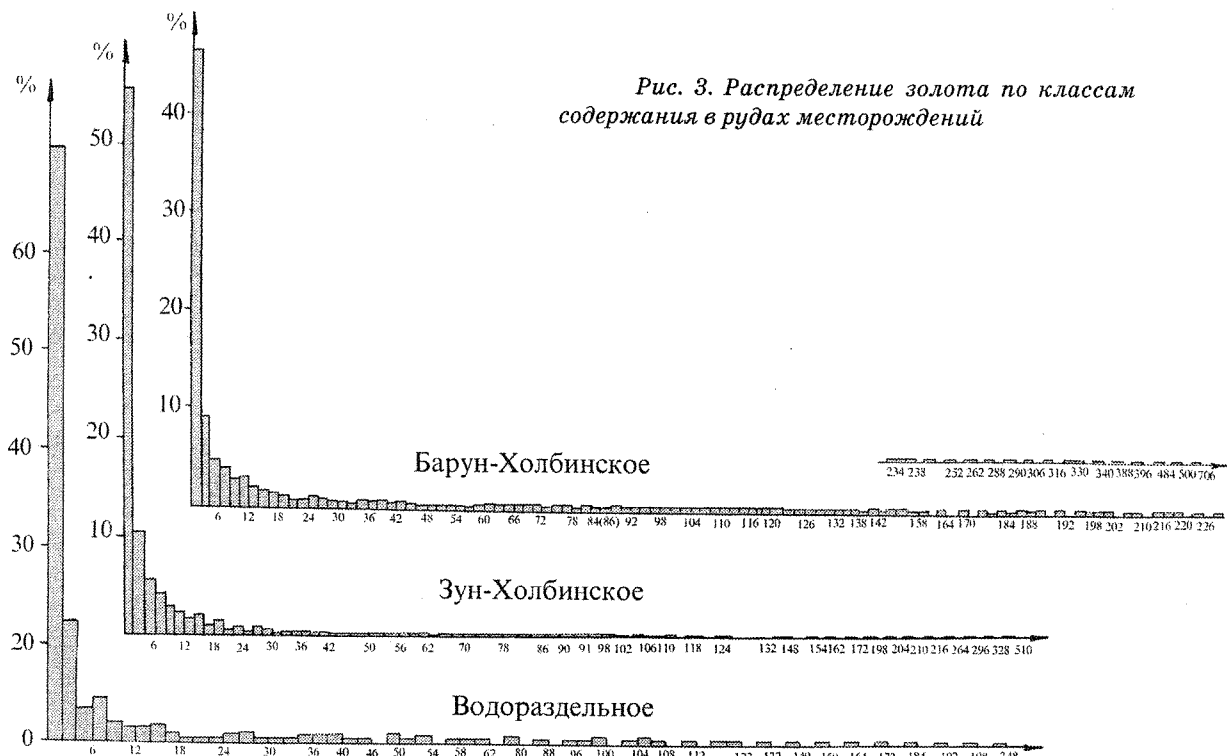
Рис. 2. Изменение параметров распределения содержания золота

1-среднее; 2- дисперсное; 3-коэффициент вариации; Месторождения: 4-Зун-Оспинское; 5-Пионерское; 6-Барун-Холбинское; 7-Зун-Холбинское

метров распределения золота в рудах Барун-Холбинского месторождения, чем в рудах Зун-Холбинского (рис. 2). Наблюдаемые закономерные изменения параметров распределения золота с глубиной, по-видимому, отражают общие закономерности изменения физико-химических параметров минералообразования.

Гранулометрический состав самородного золота

Согласно классификации Н.В.Петровской [3] золото изученных месторождений относится к мелкому (класс 0,1-0,9 мм). Среднее значение размеров золотин варьирует в пределах 0,29-0,81 мм. Золото с более крупными размерами выделений отмечается на всех месторождениях, но его доля в общей массе незначительна. Характерной особенностью гранулометрического состава золота является полимодальный характер его распределения по классам крупности. При этом четко выделяется два класса. Первый - 0,2-0,4 мм характерен для всех месторождений, за исключением Пионерского. В этот класс крупности попадает большая часть золотин (25-40%). Второй класс (0,5-0,7 мм) крупности характеризует золото Пионерского месторождения, в меньшей степени - золото Самартинского и Барун-Холбинского месторождений (рис. 4). Для Зун-Холбинского и Ильчирского месторождений по сравнению с остальными месторождениями мода этого



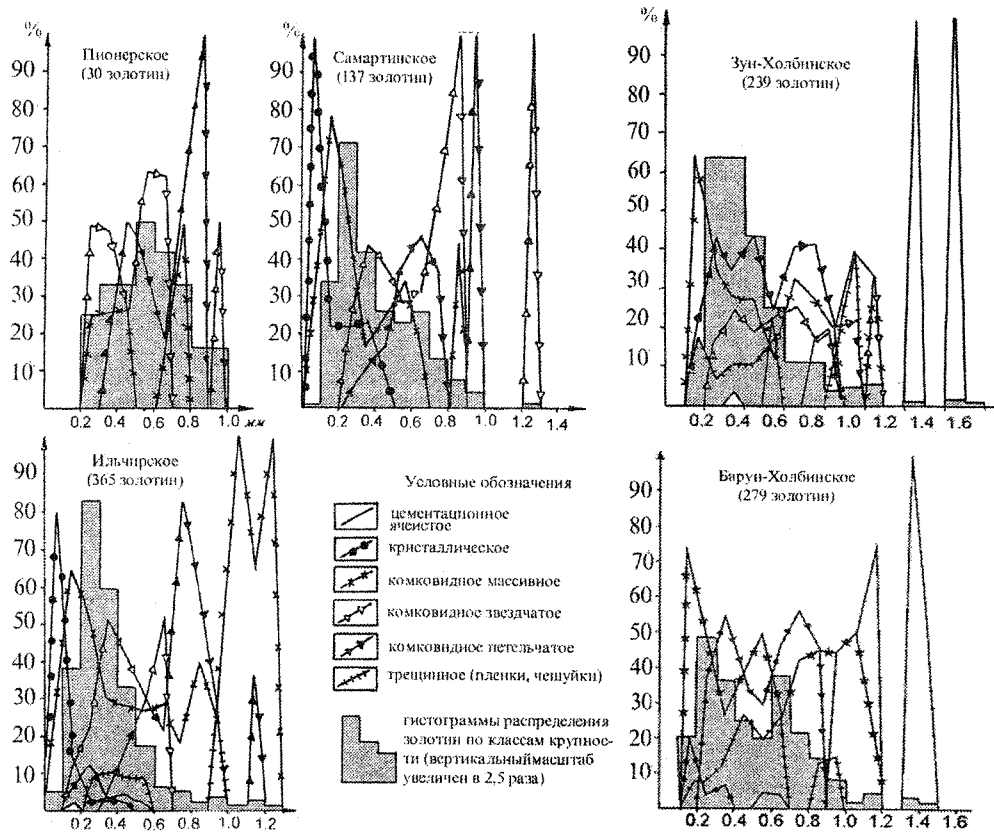


Рис. 4. Распределения морфологических типов золотин по классам крупности

класса не выявляется. Можно предполагать, что основной причиной, влияющей на полимодальность размеров зерен золота является различный состав и механические свойства пород, вмещающих рудные тела. Так, например, Зун-Холбинское и Барун-Холбинское месторождения по минеральному составу руд мало чем отличаются друг от друга, но рудные тела залегают в различных вмещающих породах: первое - в карбонатно-сланцевой толще, а второе - в гнейсо-плагиогранитах. Для первого месторождения основная масса золота по крупности ложится в 0,2-0,4 мм, а для второго - в два класса крупности: 0,2-0,3 мм и 0,5-0,6 мм. По-видимому, в кварцевых жилах, залегающих в гнейсо-плагиогранитах при тектонических деформациях к моменту отложения золота формировались наряду с мелкими и более крупные микрополости. Возможным подтверждением этому может служить проба, отобранная из жилы Северной -1 (Зун-Холбинское месторождение), залегающей в интрузивных породах. Для золотин из этой пробы характерно более крупные размеры (0,6 мм) по сравнению с пробами, отобранными из Доржи-Банзаровской жилы, расположенной в карбонатно-сланцевой толще.

Обращает на себя внимание резкое увеличение крупности золота в рудах галенит-тальридной ассоциации (Пионерская группа месторождений).

Из анализа изменения крупности золота в пространстве, устанавливается увеличение размеров золотин для рудных тел, залегающих на верхних гипсометрических уровнях.

Морфологические особенности самородного золота

Морфологические особенности самородного золота для данных месторождений чрезвычайно разнообразны и в той или иной мере зависят от характера выполняемого ими пространства. По классификации Н.В.Петровской, в рудах месторождений Урик-Китайской зоны выделяются следующие морфологические типы золотин:

1. Идиоморфные: а) кристаллы, б) сростки кристаллов; в) плохо ограненные и округленные индивиды.
2. Неправильные: а) трещинные (прожилковые); б) цементационные (комковидные

плотные, комковидные звездчатые, крючковидные-петельчатые, ячеистые)

3. Смешанные.

I. Идиоморфные формы золотин пользуются незначительным распространением. В большинстве случаев они характерны для первых двух классов крупности золотин.

а) Кристаллы золота встречаются в рудах всех месторождений, но наиболее часто они устанавливаются в галенит-тетраэдрических и галенит-теллурических рудах месторождений Ильчирской и Пионерской групп. Кристаллы обычно мелкие (0,02-0,2 мм), реже 0,5 мм. Большая их часть попадает в первые два класса крупности золотин. Для этих классов крупности кристаллы являются ведущим морфологическим типом (рис. 4). Кристаллы относятся к высокосимметричному гексаоктаэдрическому классу кубической сингонии, но полногранные их формы встречаются исключительно редко. Среди кристаллов выделяются изометричные, удлиненные и уплощенные формы.

Изометричные формы кристаллов в рудах месторождений сравнительно редки. Обычно это кубооктаэдры с гранями (III) и (100) размером 0,1-0,2 мм (рис. 5 б, г). Кристаллы часто находятся в сростках с золотинами неправильной комковидной или звездчатой формы. Иногда золото кристаллизуется на поверхности граней кристаллов пирита (рис. 5 е), чему способствует, по-видимому, каталитическое влияние поверхности ранее образованного минерала [3]. Очень часто встречаются кристаллы, образованные путем частичного заполнения пустот в жилах, сложенных крупнозернистым кварцем (рис. 5 б, ж), при этом преимущественное развитие получают 2-3 грани. Как показывают наблюдения, наиболее характерен данный тип золотин для руд Ильчирской и Пионерской группы месторождений.

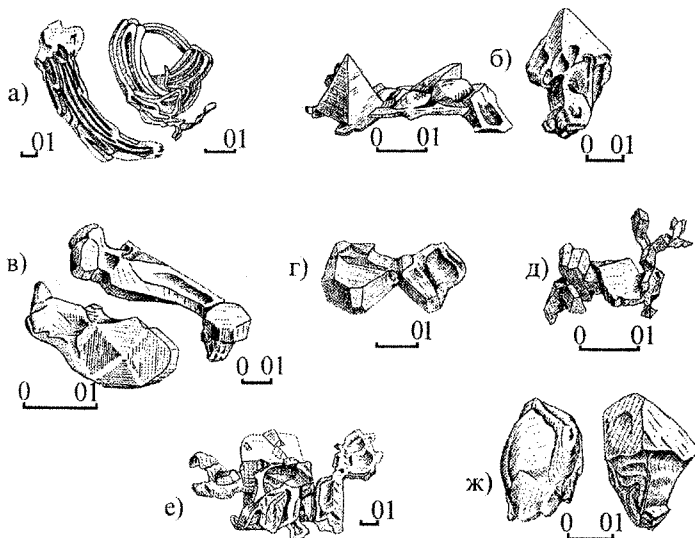


Рис. 5. Кристаллические формы золотин

а) пучковидные сростки проволочковидного золота; б) хорошо образованные кристаллические формы; в) уплощенные кристаллы псевдогексагонального облика; г) сросток двух кристаллов с развитыми гранями (111) (100) (101); д) друзовидный сросток различно ориентированных кристаллов; е) кристалл пирита, обросший золотиной сложной формы; ж) плохо огражденные кристаллы золота

Большинство исследователей считают, что крупные хорошо ограненные изометричные кристаллы встречаются преимущественно в областях развития среднеглубинного оруденения. В малосульфидных рудах больших глубин подобные кристаллы очень мелкие с округленными вершинами и ребрами [3].

Удлиненные кристаллы встречены в галенит-блеклерудных и галенит-теллурических рудах Ильчирской и Пионерской групп месторождений. Этот вид кристаллов представлен пучковидными сростками проволочек золота, реже лентовидными кристаллами (рис. 5 а). В мелких друзовых пустотах в кварце Пионерской группы месторождений отмечаются вытянутые проволочковидные кристаллы. Размеры индивидов колеблются от 0,15 до 0,3 мм. Развитие подобных форм характерно только для среднеглубинных и малоглубинных месторождений [3].

Уплощенные кристаллы золота отмечаются в рудах Барун-Холбинского и Ильчирского месторождений. Обычно они имеют псевдогексагональный облик (рис. 5 в), что связано с двойникование по (III) и укорочением кристаллов перпендикулярно плоскости двойникования, при этом грани (III) приобретают наибольшую площадь [3]. Размеры золотин данной морфологии редко превышают 0,1 мм.

б) Сростки кристаллов наиболее распространены в жилах Пионерской группы место-

рождений, где они представлены друзовидными агрегатами различно ориентированных изометрических кристаллов золота (рис. 5 д). Размер подобных сростков в отдельных случаях достигает 0,7 мм по удлинению. Отмечаются они и в кварцевых жилах Барун-Холбинского месторождения. К сросткам можно отнести и ранее описанные золотины, представленные пучками проволочковидных кристаллов золота.

в) Плохо ограненные и округленные кристаллы составляют подавляющее большинство золотин первого класса крупности Пионерской группы месторождений» Несколько меньше их в том же классе крупности в рудах Ильчирской группы и других месторождениях (рис. 5 ж). Одной из причин формирования округлых морфологических разновидностей может быть растворение кристаллов золота или развитие множества других граней, в связи с чем вершины кристаллов притупляются.

По мнению Н.В.Петровской, в кварцах и сопровождающих их сульфидах, отложенных в условиях средних глубин, золотины редко бывают несовершенной формы, но такие формы характерны для золота срастающегося с сульфидами поздних генераций (сфалерит-галенитовые, пирит-халькопиритовые). Наличие хорошо образованных кристаллов (особенно их скоплений), в целом, может быть показателем проявления поздней продуктивной стадии рудообразования или наличия относительно богатых рудных столбов и проявления интрапрудной перегруппировки вещества. Распространенность проволочных и волосовидных форм может расцениваться как признак существенной роли газовой среды в процессе кристаллизации золота при резком падении давления [3].

2. Неправильные выделения золотин являются наиболее распространенными, а их форма зависит от форм пустот заполнения.

а) Трещинные (прожилковые) наиболее характерны для руд Зун-Холбинского и Барун-Холбинского месторождений, в которых они составляют соответственно 15,4 и 14,0% от общего количества золотин. В соответствии с классификацией Н.В.Петровской, в исследуемых пробах золотин преобладают пленки толщиной 0,1 мм и чешуйки (0,1-0,2 мм). Величина их в поперечнике на всех месторождениях варьирует в пределах 0,1-0,6 мм, редко достигая 1,0 мм. Значительно реже встречаются лентовидные вытянутые золотины с коэффициентом удлинения 2-3. Контуры краев золотин округлые, слегка извилистые; изгибы отражают формы неровностей стенок трещин и часто носят ступенчатый характер (рис. 6 г), Пленки имеют более сложные очертания и часто несут на себе отпечатки граней кристаллов пирита и кварца (рис. 6 в, г). По Н.В.Петровской, трещинные золотины преобладают в глубинных месторождениях с малосульфидной формацией руд [3].

б) Цементационные выделения золота в брекчиях и на пересечениях трещин имеют угловатые формы, повторяющие формы межбломочных полостей. Отсутствие уплощенности и сложные разветвленные формы отличают рассматриваемые золотины от простых трещинных. Согласно классификации Н.В.Петровской, выделяются следующие разновидности цементационных форм золотин, которые выявлены в рудах изученных месторождений: комковидные плотные, комковидные звездчатые, крючковидно-петельчатые, ячеистые.

Комковидные плотные золотины имеют плотную центральную часть, от которой в разные стороны отходят угловатые выступы (рис. 7 а, б), Размер золотин колеблется в широких пределах (0,1-1,5 мм) Наибольшим распространением комковидные золотины пользуются в рудах Барун-Холбинской и Пионерской группы месторождений.

Комковидные звездчатые (паукобразные) отличаются от вышеописанных наличием быстро выклинивающихся ответвлений, размеры которых варьируют в зависимости от величины золотин и

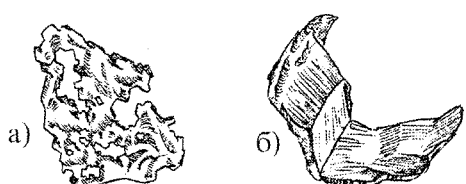
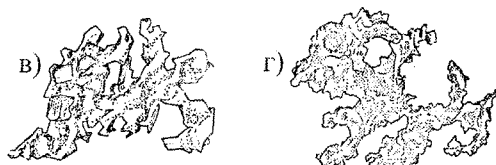


Рис. 6 Неправильные выделения золотин



а) пленка золота сложной формы; б) чешуйка золота, приуроченная к месту пересечения трещин; в) прожилковое выделение золота сложной формы; г) цементационное ячеистое выделение золота с отпечатками кристаллов кварца

структурой вмещающих агрегатов (рис. 8 а). Апофизы обычно располагаются вдоль трещин в катализированном кварце. Наряду с остро выклинивающимися ответвлениями, встречаются тупые, как бы обрывающиеся выступы (рис. 8 б). Золотины подобной морфологии встречаются на всех месторождениях и часто являются ведущими для многих проб. Процентное содержание звездчатых золотин в рудах Пионерской группы месторождений несколько выше, чем для остальных.

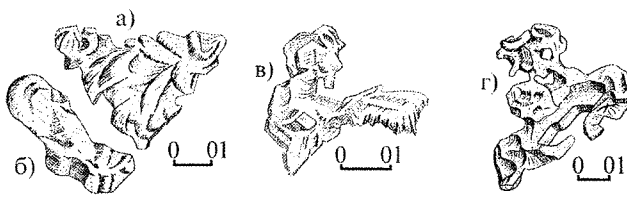


Рис. 7. Цементационные формы золотин

а) комковидная плотная золотина с угловатыми очертаниями; б) комковидная плотная золотина; в) комковидная звездчатая золотина с неправильными, резко выклинивающими отверстиями; г) крючковидно-петельчатая золотина

Крючковидно-петельчатые золотины встречаются на всех месторождениях. Они характеризуются преобладанием в сростках тонких прожилков и ответвлений с комковидными раздувами (рис. 7 г). Их содержание обычно возрастает с увеличением размеров частиц. В последних классах крупности данный вид золотин сменяет звездчатые.

Ячеистые выделения золота представляют собой сростки мелких ксеноморфных частиц золота, между которыми заключены зерна минералов. Каждый из фрагментов сростка обладает морфологическими особенностями, присущими трещинным золотинам. Поверхность зо-

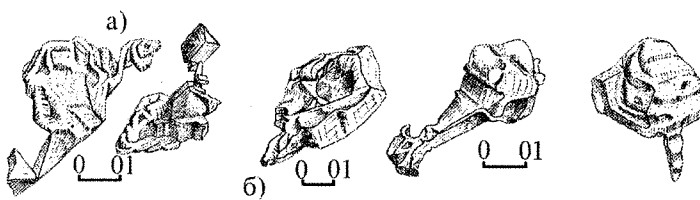


Рис. 8. Смешанные формы золотин

а) сростки комковидных плотных золотин с кристаллическими выделениями золота; б) комковидные золотины с ответвлениями различной величины и формы

лотин неровная, ямчатая с наличием многочисленных ответвлений, которые в отличие от комковидных, тоньше и длиннее. Утолщения в центральных частях золотин наблюдаются не всегда (рис. 6г). С увеличением размеров золотин их доля в классах крупности резко возрастает и среди золотин крупностью 1,3 мм других разновидностей, кроме ячеистых, не встречено. Сказанное справедливо для руд Зун-Холбинского и Барун-Холбинского месторождений, в рудах которых для ячеистого золота характерен сильный разброс размеров золотин (до 2,9 мм).

3. Смешанные выделения золотин отмечаются в рудах всех месторождений. Они характеризуются тем, что в одной золотине можно обнаружить несколько вышеописанных морфологических разновидностей. Иногда золотины несут на себе следы отпечатков зерен кварца, карбонатов и сульфидов (рис. 9б, в). Нередко на золотинах наблюдаются фигуры роста, подчеркнутые комбинационной штриховкой и послойным нарастанием граней, что обуславливает их ребристо-пластинчатые и пластинчато-ступенчатые формы (рис. 9а). Очевидно, эти морфологические разновидности золотин указывают на рост их в относительно свободных условиях [3].

При анализе распределения отдельных морфологических разновидностей золота в рудах устанавливаются следующие особенности: количество кристаллического, комковидного, звездчатого золота постепенно увеличивается от пирит-халькопирит-сфалерит-галенитовой минеральной ассоциации к галенит-тетраэдритовой и галенит-теллуритовой. Для трещинного, ячеистого золота наблюдается обратная картина (рис. 10). Их содержание уменьшается в галенит-тетраэдритовых и пирит-халькопирит-сфалерит-галенитовых рудах. Характерным является также приуроченность отдельных морфологических типов золотин к определенным классам крупности золота: комковидные плотные золотины на всех месторождениях преобладают в классе крупности 0,1-0,2 мм, но для некоторых месторождений эта разновидность является ведущим типом в классе 0,5-0,6 мм и 0,9-1,3 мм; звездчатые - характерны для клас-

сов крупности 0,5-0,6 мм и 0,7-0,8 и 1,2-1,3 мм, и отмечается в рудах Ильчирского и Пионерского месторождений, Петельчатое золото распространено на всех месторождениях в классе 0,2-0,4 мм, 0,7-0,9 мм. В более мелких классах петельчатое золото преобладает только на Зун-Холбинском и Барун-Холбинском месторождениях. Ячеистая разновидность золота преобладает в классах большей крупности (1,4мм) и распространена на Зун-Холбинском и Барун-

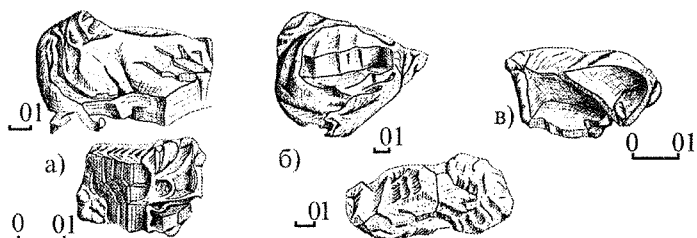


Рис. 9. Комковидные золотины

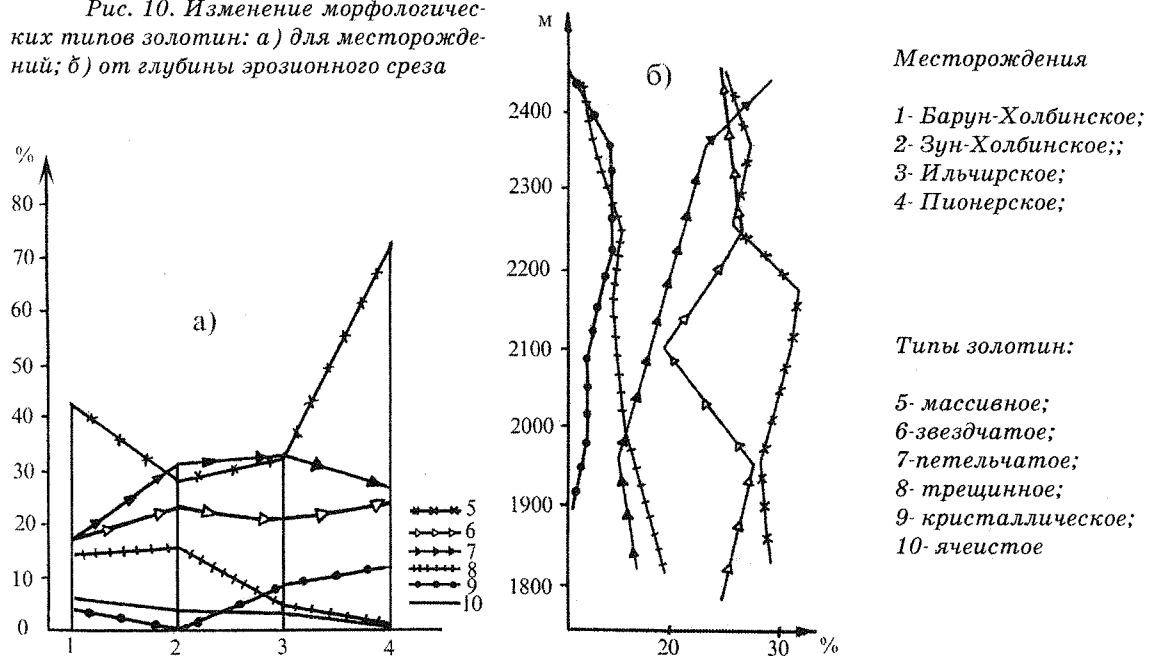
а) фигуры роста на поверхности золотин комковидной и кристаллической формы; б) комковидные золотины с отпечатками кристаллов кварца; в) комковидная золотина с отпечатками кристаллов сульфидов

Холбинском месторождениях (рис. 4). Закономерные изменения в содержании отдельных морфологических разновидностей золота в рудах проявляются в зависимости от глубины эрозионного среза. С уменьшением абсолютных отметок содержание петельчатого, комковидно-плотного, звездчатого золота также уменьшается, а содержание трещинного золота увеличивается. Увеличивается содержание кристаллического золота, но это увеличение устанавливается только до горизонта 2300 м. Выше горизонта 2300 м количество кристаллического золота уменьшается (рис. 10).

Химический состав самородного золота

Химический состав самородного золота определялся микрорентгеноспектральным (МРСА), лазерным микроспектральным (ЛМА), атомно-абсорбционным (ААА) и рентгенофлюорисцентным (РФА) методами. Сопоставляя результаты определения этими методами, следует отметить, что микрорентгеноспектральный анализ дает более низкие значения пробы золота, чем атомно-абсорбционный анализ, но общие закономерности изменения пробы для одних и тех же золоторудных объектов сохраняются. Результаты определения пробы золота (табл. 1; рис. 11-13) показывают, что выделенные разновидности золота существенно разли-

Рис. 10. Изменение морфологических типов золотин: а) для месторождений; б) от глубины эрозионного среза



чаются друг от друга по составу.

Бледно-желтое золото, по классификации Н.В.Петровской , относится к низкопробному. Проба желтого золота варьирует в более широких пределах: от относительно низкопробного (710-785) для Барун-Холбинской и Ильчирской групп месторождений к умеренно-высоко-пробному (850-850) для Зун-Холбинского месторождения до высокопробного (910-950) и весьма высокопробного (950-985) Пионерской и Зун-Оспинской групп месторождений. Распределение золота по классам пробности (AAA – 82 пробы; МРСА – 97 проб) для месторождений Урик-Китайской зоны следующее:

| | Проба | AAA | МРСА |
|------------------------------|-----------|--------|--------|
| а) весьма высокопробное | (998-951) | 6.0% | 3.7 % |
| б) высокопробное | (950-900) | 15.8% | 17.8 % |
| в) умеренно-высокопробное | (899-800) | 31.2 % | 8.0% |
| г) относительно низкопробное | (799-700) | 33.6% | 23.2% |
| д) низкопробное | (699-600) | 10% | 24.2% |
| е) весьма низкопробное | (<600) | 3.0 % | 23.0 % |

В целом же, для месторождений характерно относительно низкопробное золото.

По данным табл.1. построена гистограмма частоты встречаемости золота различной пробы. По данным атомно-абсорбционного метода четко выделяются пики умеренно-высокопробного (800-840) и низкопробного (600-620) золота. Результаты электронно зондового микрорентгеноспектрального анализа позволяют выделить три пика пробы золота: 560-600; 760-800 и 920-960 (рис. 11). Из сравнения гистограмм пробности золота изученных месторождений с гистограммами, приводимыми Н.В. Петровской для глубинных, средние глубинных и малоглубинных месторождений, устанавливается близость месторождений Урик-Китайской зоны к среднеглубинным месторождениям. Обращает на себя внимание зависимость пробы золота от типа руд. Наибольшие ее значения характерны для пирит-кварцевой с наложенной галенит-теллуридной минерализацией, а самая низкая пробы золота отмечается в нескольких пробах из руд пирит-халькопирит-сфалерит-галенитового типа Зун-Холбинского и Барун-Холбинского месторождений. Анализируя изменения пробы в рудах отдельных месторождений (рис. 13), следует отметить весьма значительные ее вариации на верхних гипсометрических уровнях для руд Зун-Холбинского (2200-2250 м.), Ильчирского (2280-2300 м.) и Динамитного (2150 м.) месторождений.

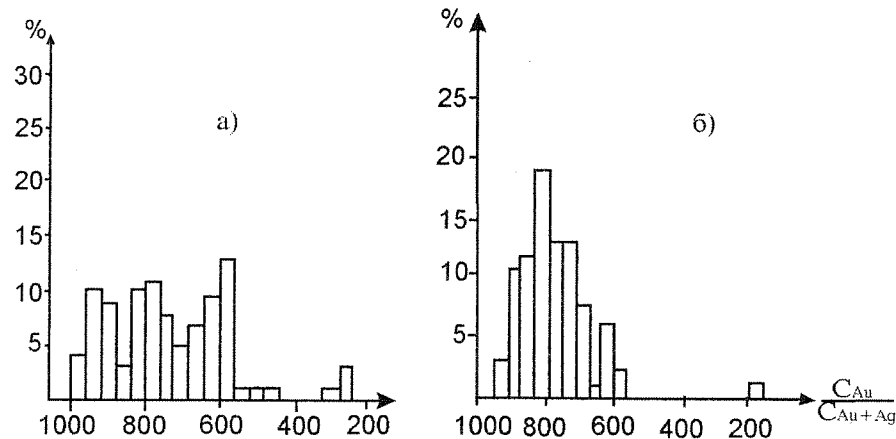


Рис. 11. Гистограммы химического состава самородного золота месторождений Урик-Китайской зоны

Анализы: А – микрорентгеноспектральный (97 проб);
Б – атомно-абсорбционный (82 пробы)

Закономерное изменение пробы золота наблюдается в вертикальном разрезе оруденения. Для Зун-Холбинского месторождения отмечается тенденция уменьшения пробности золота от горизонта 2290 м (где пробы золота составляют по данным РФА анализа 850-870) до горизонта 1740 м, где пробы золота 450-500. В рудах Барун-Холбинского месторождения пробность золота с глубиной увеличивается (рис. 12).

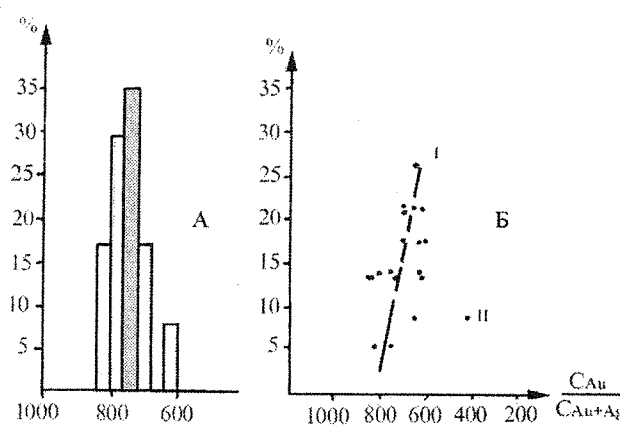


Рис. 12. Химический состав самородного золота Барун-Холбинского месторождения

мальную в близкото поверхностных условиях [3]. Однако, некоторые золоторудные месторождения Урик-Китайской зоны, характеризующиеся сходной геологической обстановкой и близким минеральным составом, содержат золото разной пробы, что трудно объяснить с позиции разноглубинности формирования месторождений.

Изменение состава золота с глубиной в сторону уменьшения или увеличения его пробности характерно не только для изученных месторождений. Уменьшение пробы золота отмечалось И.С. Рожковым для месторождений Талалах и Утинское Верхне-Индигирского района. В Верхне-Селемджинском районе В.Г. Моисеенко отмечает уменьшение пробы и крупности золота с глубиной почти во всех месторождениях. Он считает, что изменение пробы с глубиной находится в обратной зависимости от давления при минералообразовании. Уменьшение последнего в верхних частях рудных тел ведет к увеличению пробы золота [3]. Поэтому, причины, определяющие локальные изменения пробы золота, по-видимому, более разнооб-

В целом, для месторождений Урик-Китайской зоны эта закономерность проявляется в виде постепенного увеличения пробы золота от горизонта 2100 м как по восстанию, так и по падению рудных тел. Причем, выше этого горизонта увеличение пробы более резкое по сравнению с нижней частью разреза (рис. 13).

Основной причиной, определяющей широкие вариации содержания серебра в самородном золоте, является, как считает Н.В. Петровская, формационная принадлежность месторождений: наиболее высокую пробы золото имеет в рудных телах, сформировавшихся на больших глубинах, а мини-

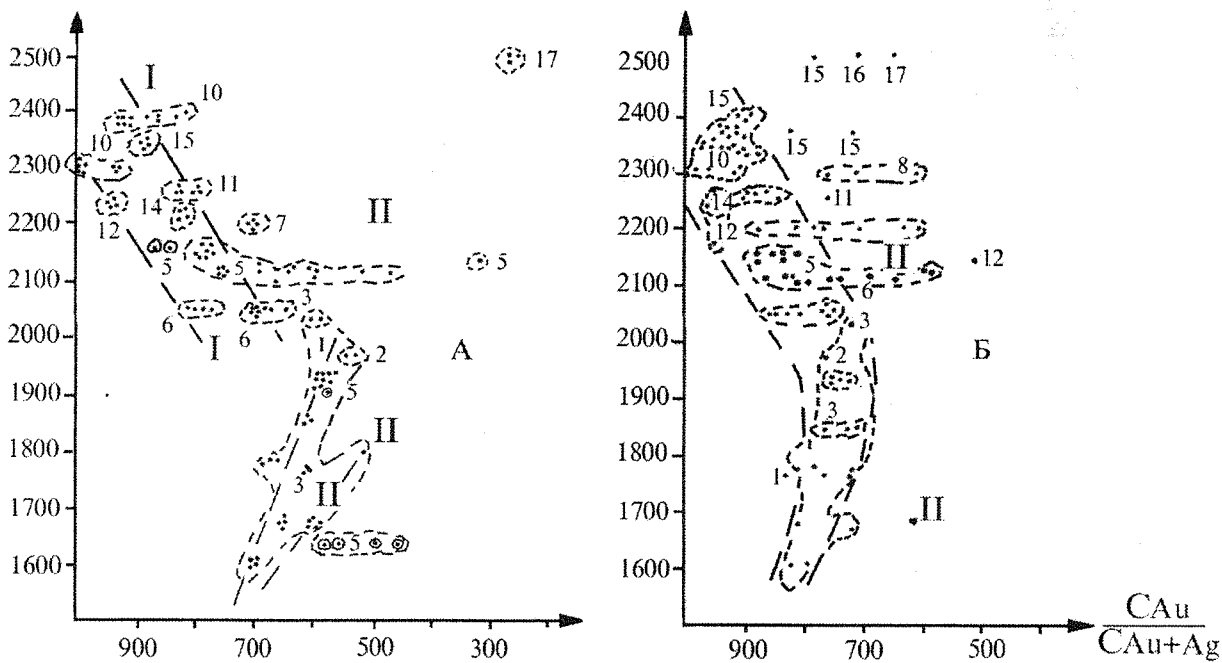


Рис. 13. Изменение химического состава золота с глубиной.

Анализы: А – микрорентгеноспектральный; Б – атомно-абсорбционный

Месторождения: 2 – Водораздельное; 3 – Барун-Холбинское; 4 – Сумсу-Нурское; 5 – Зун-Холбинское; 6 – Динамитное; 7 – Ильчирское; 8 – Зеленое; 9 – Ключ Золотой; 10 – Пионерское; 11 – Гранитное; 12 – Самартинское; 14 – Озерное; 15 – Сфалеритовое; 16 – Штокверковое; 17 – Зун-Оспинское.

Таблица 1

**Состав самородного золота месторождений
Урик-Китайской зоны**

| №/№ _п | №/№ _п пробы | Месторождение (рудопроявление) | Абс. отм., (м) | МРСА* «Камека» | | ЛМА-10** | | | | АЛЛ*** | Минеральная ассоциация |
|-----------------------|-------------------------|--------------------------------|----------------|----------------|-----|----------|------|-------|----|---------|------------------------|
| | | | | Au | Ag | Zn | Pb | Cu | Hg | | |
| Зүн-Холбинское | | | | | | | | | | | |
| 1 | 5022 | ж. Доржи-Банзаровская | 2255 | 788 | 212 | - | 0.03 | 0.003 | | 850 | |
| 2 | | | | 788 | 211 | | | | | 880 | |
| 3 | | | | 792 | 207 | | | | | | |
| 4 | | | | 795 | 204 | | | | | | |
| 5 | 5018 | -/- | 2255 | 788 | 212 | | 0.03 | 0.001 | | 840 | |
| 6 | | | | 693 | 307 | | 0.3 | 0.001 | | 837 | |
| 7 | | | | 698 | 302 | | | | | 810 | |
| 8 | | | | 781 | 219 | | | | | 810 | |
| 9 | 5511 | -/- | 2255 | 764 | 236 | | 0.3 | 0.003 | | 840 | |
| 10 | | | | 760 | 240 | | 0.1 | | | 880 | |
| 11 | | | | 782 | 217 | | | | | | |
| 12 | шт.3 | Отвал шт. №3 | 2220 | 756 | 244 | | 0.03 | 0.001 | | 690 | |
| 13 | | | | 739 | 260 | | | | | | |
| 14 | | | | 743 | 257 | | | | | | |
| 15 | 5028 б | -/- | 2220 | 605 | 395 | | 0.1 | 0.001 | | 590 | |
| 16 | 5028 б-I | -/- | | 750 | 250 | | | | | | |
| 17 | 5028 б-I | -/- | | 751 | 249 | | 0.03 | 0.003 | | 830,820 | |
| 18 | 5028 б-II | -/- | | 501 | 499 | | 0.3 | 0.01 | | 600 | |
| 19 | | | | 311 | 689 | | | | | 640 | |
| 20 | | | | 470 | 530 | | | | | | |
| 21 | шт.3-II | -/- | | 635 | 365 | | | | | 750,740 | |
| 22 | 5613 | ж. Северная - I | 2212 | 599 | 412 | | 0.3 | 0.001 | | 790,812 | |
| 23 | | | | 581 | 419 | | | | | | |
| 24 | | | | 678 | 322 | | | | | | |
| 25 | Барун-Холбинское | | | | | | | | | | |
| 26 | 5154 | ж. Дальняя | 2000-2050 | 589 | 411 | | 0.1 | 0.001 | | 710,756 | |
| 27 | | | | 585 | 415 | | 0.5 | 0.003 | | | |
| 28 | | | | 568 | 432 | | | | | | |
| 29 | | | | 582 | 418 | | | | | | |
| 30 | 5154 а | -/- | -/- | 592 | 408 | 0.05 | 0.3 | 0.003 | | 730,756 | |
| 31 | | | | 592 | 408 | | | | | | |
| 32 | | | | 591 | 409 | | | | | | |
| 33 | | | | 585 | 415 | | | | | | |
| 34 | 5136 | -/- | 1705 | 702 | 298 | | 0.3 | 0.003 | | 780,820 | |
| 35 | | | | 702 | 297 | | | | | | |
| 36 | | | | 707 | 293 | | | | | | |
| 37 | | | | 704 | 296 | | | | | | |
| 38 | 5164 | Горизонт шт. №1 | 1780 | 602 | 398 | | 0.3 | 0.001 | | 730,615 | |
| 39 | | | | 658 | 342 | | | | | | |
| 40 | | | | 659 | 314 | | | | | | |
| 41 | | | | 663* | 337 | | | | | | |
| 42 | | | | 599 | 401 | | | | | | |
| 43 | | | | 660 | 339 | | | | | | |
| 44 | 5649 | Ю-В апофиза | 2135 | 599 | 401 | | 0.1 | | | 730 | |
| 45 | | | | 607 | 393 | | | | | | |
| 46 | 5687 | ж. Новая | 1880 | 665 | 335 | | | | | 780,812 | |
| | 5688 | -/- | 1875 | | | | | | | 720,830 | |
| 48 | 5687 ж. | -/- | -/- | 679 | 312 | | 0.5 | 0.001 | | | |
| 49 | | | | 685 | 315 | | | | | | |
| 50 | | | | 527 | 473 | | | | | | |
| 51 | 6532 | Отвал шт. №5 | 1950 | 603 | 397 | | 0.5 | 0.003 | | 720,762 | |
| 52 | | | | 598 | 402 | | | | | | |
| 53 | | | | 603 | 397 | | | | | | |

П и р и т - х а л ь к о п и р и т - с ф а л е р и т - г а л е н и т о в а я

продолжение таблицы I

| | | | | | | | | | | |
|-----|--------|----------------------|-----------|-----|-----|------|------|-------|-------------|------------------------|
| 54 | 6532 а | -/- | -/- | 600 | 400 | | | | 710 | Галенит-тетраэдритовая |
| 55 | 6563 | -/- | 1870 | 607 | 393 | | 0.1 | 0.005 | 710,768 | |
| 56 | | | | 625 | 375 | | | | | |
| 5 | | | | 628 | 372 | | | | | |
| 75 | 5187 | Водоаузельное | 2072 | 544 | 456 | | 0.3 | 0.003 | 950,760 | |
| 8 | | | | 536 | 464 | | | | | |
| 59 | 1889 | Динамитное | 2150 | 701 | 299 | | 0.05 | 0.003 | 770,762 | |
| 60 | | | | 699 | 301 | | | | 825,808 | |
| 61 | 1890 | -/- | 2150 | 792 | 208 | 0.05 | 0.1 | 0.001 | 780,860 | |
| 6 | | | | 697 | 303 | | | | 831 | |
| 63 | | | | 694 | 306 | | | | | |
| 64 | | | | 678 | 322 | | | | | |
| 65 | 1890 а | -/- | 2150 | 687 | 313 | 0.05 | 0.3 | 0.01 | 770 | |
| 66 | | | | 643 | 357 | | | | | |
| 67 | | | | 807 | 193 | | | | | |
| 68 | 1729 б | Ильчирское | 2300 | 707 | 293 | | 0.1 | | 785,880 | |
| 69 | | | | 702 | 298 | | | | 770,815 | |
| 70 | | | | 693 | 307 | | | | 710 | |
| 71 | | | | 697 | 303 | | | | 760,615,636 | |
| 72 | 1882 | Зеленое | | | | | | | 710 | |
| 73 | 1883 | -/- | | | | | | | 760 | |
| 74 | 1883 А | -/- | | | | | | | 615 | |
| 75 | K-456 | Озерное | 2300-2350 | 813 | 187 | | 0.5 | 0.03 | 840,954 | |
| 76 | | | | 811 | 189 | | | | 906,900 | |
| 77 | 636 А | -/- | | 827 | 172 | | | | 900 | |
| 78 | | | | 832 | 168 | | | | | |
| 79 | 1785 | Гранитное | 365 | 803 | 197 | 0.05 | 0.5 | 0.003 | 860 | |
| 80 | | | | 794 | 206 | | | | | |
| 81 | | | | 791 | 209 | | | | | |
| 82 | 1772 | -/- | 2360 | 824 | 176 | | 0.05 | 0.005 | 886 | |
| 83 | | | | 827 | 173 | | | | | |
| 84 | | | | 833 | 177 | | | | | |
| 85 | | Пионерское | | | | | | | | |
| 86 | 593+10 | Ж-12 | 2405 | 997 | 003 | | 0.1 | 0.003 | 927,985 | |
| 87 | | | | 996 | 004 | | | | 916,946 | |
| 88 | | | | 991 | 009 | | | | 995 | |
| 89 | | | | 989 | 011 | | | | | |
| 90 | 1060 | -/- | 2400 | 936 | 064 | | 0.3 | 0.1 | | |
| 91 | | | | 936 | 064 | | | | | |
| 92 | 1532 | -/- | 2480 | 934 | 066 | | 0.1 | 0.001 | 946,940 | |
| 93 | | | | 933 | 067 | | 0.3 | 0.003 | | |
| 94 | | | | 933 | 067 | | | | | |
| 95 | | | | 935 | 065 | | | | | |
| 96 | 8-1031 | -/- | | 855 | 145 | | 0.3 | 0.003 | 895 | |
| 97 | | | | 911 | 09 | | | | | |
| 98 | | | | 837 | 163 | | 0.3 | 0.003 | 895 | |
| 99 | | | | 908 | 092 | | | | | |
| 100 | 1529 а | -/- | 2475 | 919 | 081 | | 0.03 | 0.001 | 942 | |
| 101 | | | | 706 | 294 | | | | | |
| 102 | 1833 | Самартинское | 2340 | 937 | 063 | 0.03 | 0.3 | 0.005 | 965,950 | |
| 103 | | | | 948 | 052 | | | | | |
| 104 | | | | 951 | 049 | | | | | |
| 105 | | | | 936 | 064 | | | | | |
| 106 | 6654 | Зун-Оспинское | 2600 | 258 | 742 | | 0.1 | 0.001 | | |
| 107 | | | | 262 | 738 | | | | 200 | |
| 108 | | | | 261 | 739 | | | | | |
| 109 | Д-2 а | -/- | 2600 | | | | | | 655 | |
| 110 | 1716 | Сфалеритовое | 2445 | 880 | 120 | 0.5 | 0.1 | 0.005 | | |
| 111 | | | | 886 | 114 | 0.1 | 0.3 | 0.005 | 910 | |
| 112 | | | | 887 | 113 | | | | 913,916,935 | |
| 113 | | | | 888 | 112 | | | | | |

* - МРСА – микрорентгеноспектральный анализ; ** - ЛМА-10 – лазерный микроспектральный анализ, *** - АЛА – атомно-абсорбционный анализ

Пирит-варцевая + галенит-тальциновая

Серебро-пирит-сфалерит-галенитовая

разны. Общим является повышение пробы золота в пределах богатых рудных столбов и в участках, где его концентрация связана с процессами эндогенной перегруппировки рудного вещества. Многие исследователи отмечают тенденцию очищения золота от серебра на поздних стадиях процесса.

Можно полагать, что одной из существенных причин высокой пробы золота в рудах Пионерской группы месторождений явилась низкая концентрация серебра и более высокое содержание (по сравнению с другими месторождениями) теллура. Так, по данным К.П.Лаврова, содержание теллура в рудах ж.12 Пионерского месторождения составляет 0,07%, а отношение Au : Ag- I: 2. При изучении теллуровой минерализации установлено широкое развитие теллуридов свинца, висмута, серебра или серебра и золота (вместе), в то-же время как собственные теллуриды золота не обнаружены при значительной концентрации последнего. Это может указывать лишь на то, что степень сродства свинца, висмута и серебра к теллуру больше, чем у золота. Подобный вывод подтверждается данными других исследователей [4,5]. Очевидно, большая часть серебра взаимодействовало с теллуром, образуя самостоятельные минералы, и в только незначительная часть серебра вошла в состав самородного золота. Высокая пробы золота характерна для многих месторождений с теллуровой минерализацией [6].

Заключение

Приведенные данные показывают, что типоморфные особенности самородного золота месторождений Урик-Китайской зоны достаточно разнообразны и характеризуются весьма широким диапазоном изменчивости как морфологических свойств, так и химического состава. Подобная изменчивость обусловлена несомненно влиянием многих факторов, роль которых не может быть в настоящее время правильно оценена, т.к. не выяснены окончательно основные вопросы генезиса этих месторождений.

Список литературы

1. Миронов А.Г., Рощектаев П.А. и др. //Месторождения Забайкалья. Том I. Книга 2. – Чита: 1995, - с.- 56-66 .
2. Кныш С.К. //Рудные формации и месторождения Сибири.- Томск: ТГУ, 1979, -с. 83-87.
3. Петровская Н.В. Самородное золото. – М: Недра, 1973. – 347 с.
4. Ли АФ. // Зап. ВМО. – 1957, сер: 2, Вып. 1, -с. 40-42.
5. Спиридов Э.М. и др. //Геология рудных месторождений. – 1974, т. XVI, № 1, - с. 54-65.
6. Вейн Б.И. и др. // Минералогия и геохимия Центрального Казахстана и Алтая. – Алма-Ата: Недра, 1971. – с. 16-34.

TYPOMORPHIC FEATURES OF NATIVE GOLD FROM DEPOSITS SET WITIN YRIK-KITOYSK ZONE (E. SAYAN)

S.K. Knysh

Analytical results characterizing morphology, granulometric and chemical composition of native gold from deposits set witin Caledonian structures influenced by repeated tectonic and magmatic activation are presented. Temporal and spatial Regular variations in typomorphic features of gold at gold ore deposits have been fixed.